

Note de synthèse du 21/09/23

Synthèse sur le mois écoulé

1/ Situation météorologique

Températures
Précipitations
Sécheresse des sols

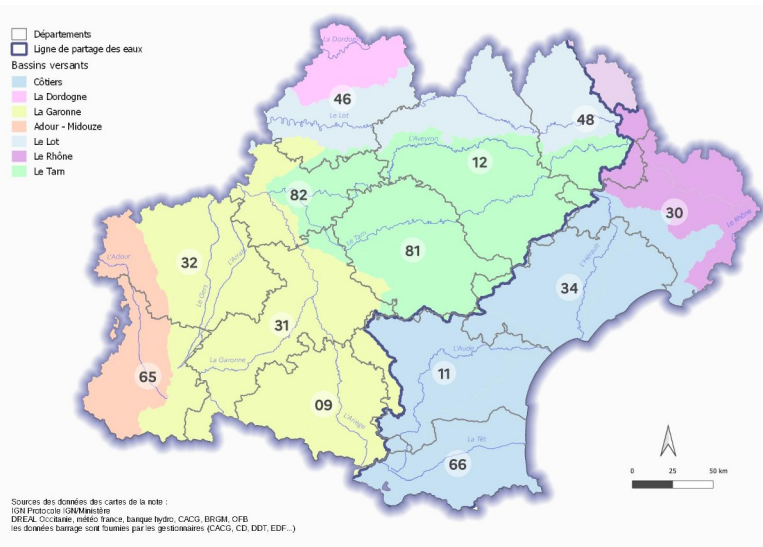
2/ Situation hydrologique

Hydraullicité
État des réserves
Niveaux des eaux souterraines

3/ Mesures de restrictions

Annexes :

Liste des stations des cours d'eau
Liste des stations des eaux souterraines



Synthèse sur le mois écoulé

Le mois d'août 2023 est caractérisé par des températures élevées par rapport aux normales de saison. La température moyenne agrégée à l'échelle de la région est de 22,2°C, soit un écart d'environ +1,4°C par rapport aux normales. La pluviométrie est inférieure aux normales avec un déficit de 30 % (très importantes disparités régionales). Les sols sont plus secs que la normale sur la région. L'hydraullicité a évolué favorablement sur certains secteurs grâce aux réalimentations (rivières Ariège, Garonne notamment) et elle s'est stabilisée sur le bassin Tarn-Aveyron et sur le pourtour méditerranéen.

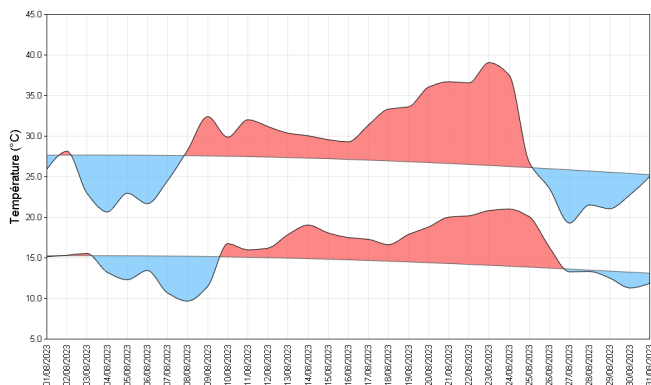
L'évolution à la baisse du niveau de remplissage des réserves se poursuit à l'Ouest de la région et la vidange des retenues (soutien d'étiage et milieu) se poursuit sur le pourtour méditerranéen. Les niveaux des nappes à l'Ouest de la région sont globalement entre modérément bas et autour de la moyenne. Et sur l'arc méditerranéen les niveaux piézométriques poursuivent leur baisse avec une situation extrêmement dégradée pour la saison. On observe un durcissement général des restrictions sur l'ensemble de la région.

1/ Situation météorologique

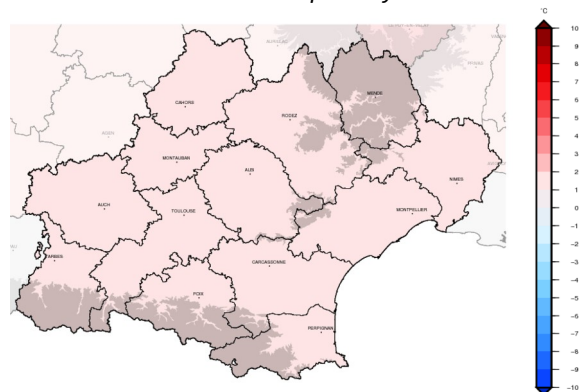
Source : Météo France

✓ Températures : septembre 2023

Indicateurs quotidiens des températures
minimales et maximale



Écart à la moyenne de référence 1991-2020
de l'indicateur thermique moyen mensuel

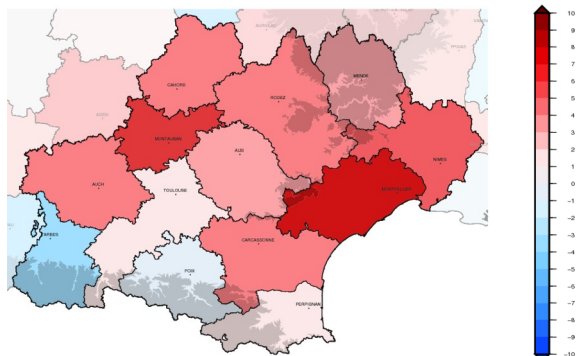


Le mois d'août peut être séparé en trois périodes. La première et la troisième correspondent à une vague de fraîcheur. La seconde est une période au-dessus des normales entre le 9 et le 25 août, dont une période caniculaire du 20 au 24 août. Ce dernier jour est le plus chaud du mois avec une moyenne de 29.95°C correspondant à une anomalie de +9.7°C. Il s'agit également du jour le plus chaud à l'échelle de la région avec une température maximale agrégée de 39.1°C battant les 38.2°C du 12 août 2003.

La température moyenne mensuelle agrégée est supérieure aux normales de saison de 1.4°C. L'anomalie de température moyenne est globalement homogène sur la région alors que l'anomalie de température maximale montre plus de disparités. On retrouve en effet, des anomalies supérieures à 2°C entre le Midi-Toulousain et le Quercy avec une anomalie de température maximale allant jusqu'à +3.0°C à Toulouse-Blagnac (31).

✓ Précipitations :

Rapport à la moyenne de référence 1991-2020 des cumuls mensuels de précipitations agrégées

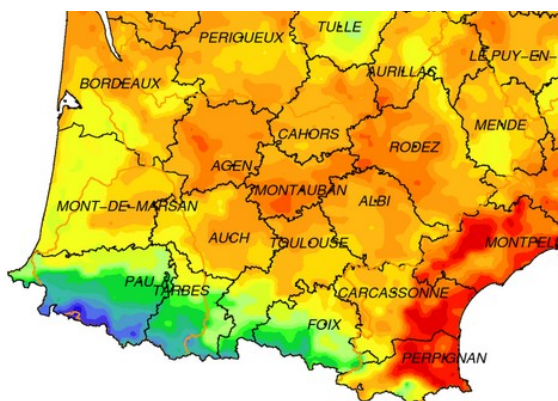


Les précipitations agrégées sur la région pour le mois d'août sont de 41 mm (30% par rapport aux normales) avec de forts contrastes régionaux. Ainsi, on relève 0 à 10 mm dans l'intérieur de l'Hérault et l'est du Gard, 10 à 20 mm sur une grande partie des départements méditerranéens ainsi que de la Lomagne au Quercy, 30 à 50 mm sur le reste de la région, excepté sur les Pyrénées où les cumuls approchent les 100 mm notamment dans les Hautes-Pyrénées.

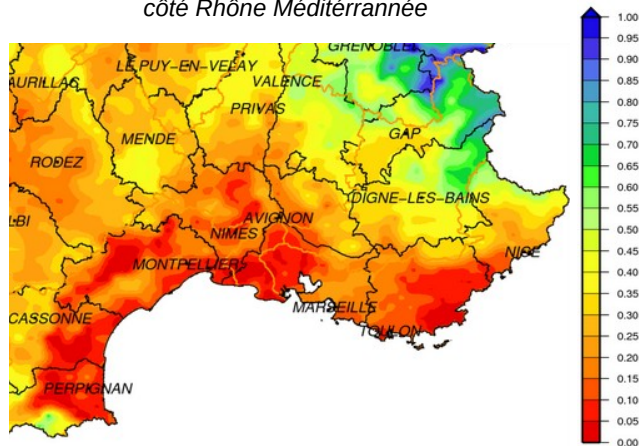
A l'échelle départementale, l'Hérault est le département où les précipitations sont le plus déficitaires (-71% par rapport aux normales) suivi par le Tarn-et-Garonne avec un déficit de 65%. A contrario, l'Ariège et les Hautes-Pyrénées sont en excédent respectivement de 6% et 31%. La journée la plus pluvieuse est le 26 août avec 20 mm agrégés sur la région contribuant en grande partie à la pluviométrie totale du mois. Sur le mois, on relève 20.8 mm à Montauban (82), il s'agit de la 10ème fois que l'on relève moins de 21 mm sur cette station en août depuis 1940.

✓ Sécheresse des sols :

Indice d'humidité des sols au 1er septembre côté Adour Garonne



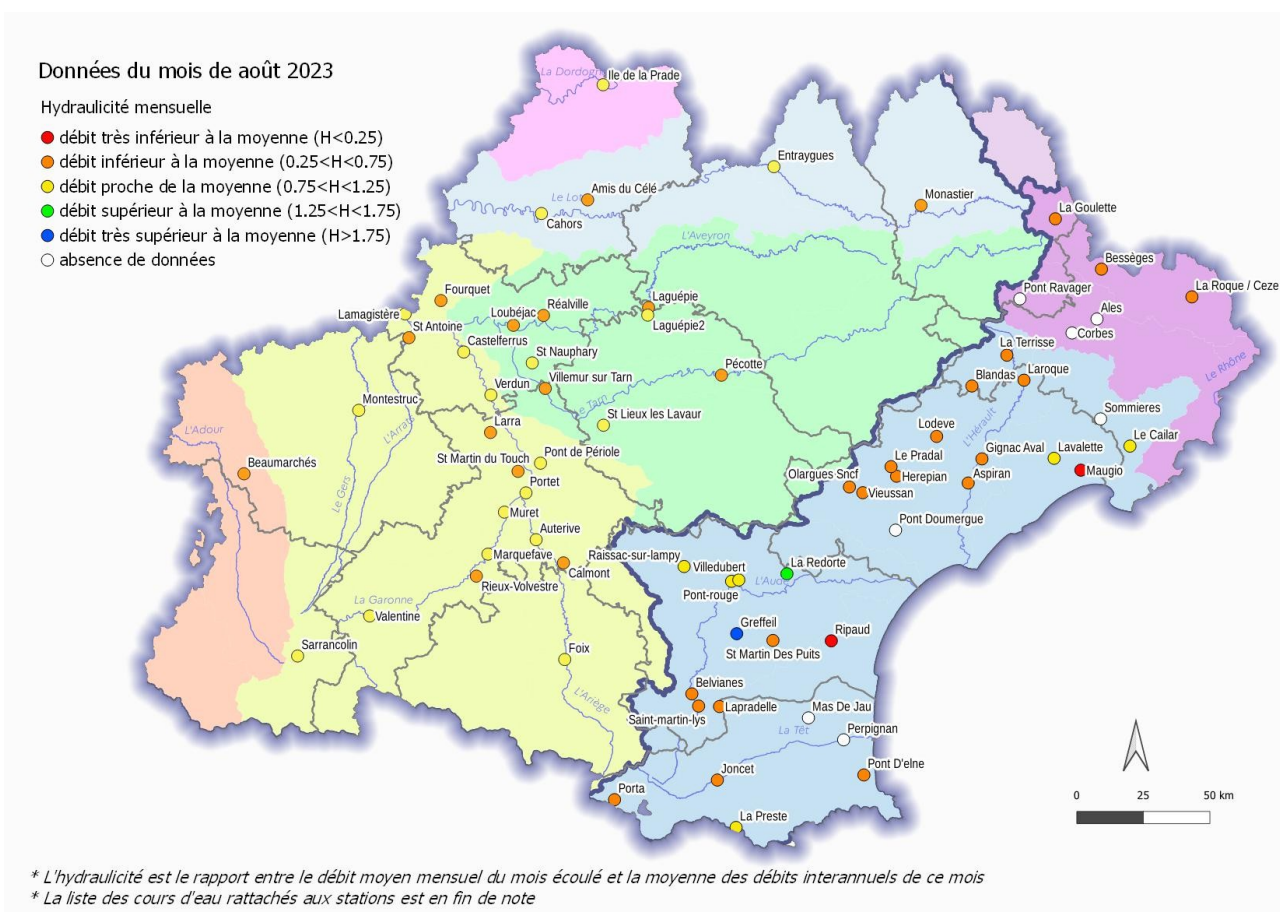
Indice d'humidité des sols au 1er septembre côté Rhône Méditerranée



Au 1^{er} septembre, les sols sont plus secs que la normale sur toute la région. Ils sont même extrêmement secs sur le pourtour méditerranéen, en Aveyron, dans le Gers, le Tarn, et le Tarn-et-Garonne où l'indice agrégé par département est à son niveau le plus bas (record sec d'un 1^{er} septembre sur la période 1959-2022).

2/ Situation hydrologique

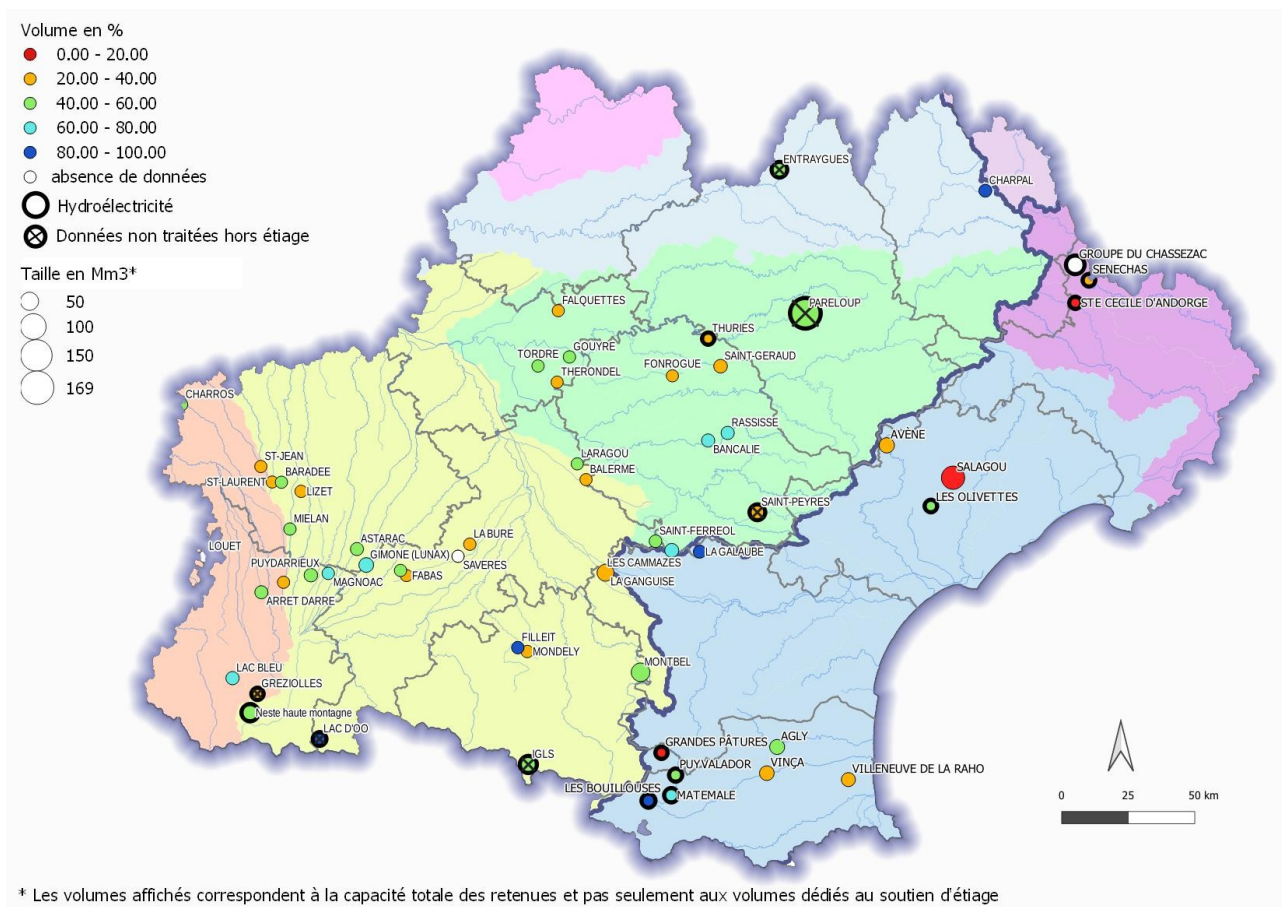
✓ Hydraulicité :



Sur la partie Ouest de la région, on note une évolution favorable de l'hydraulicité en comparaison avec le mois dernier pour la rivière Ariège, la Garonne et certaines rivières de Gascogne (Gers et Gimone) permise par les réalimentations opérées. Sur la partie Nord-Ouest du bassin Tarn-Aveyron, l'hydraulicité reste comme en juillet comprise entre 20 % et 40 %.

Sur le pourtour méditerranéen, la situation est similaire à celle du mois de juillet, le débit mensuel demeurant inférieur aux normales de saison ($H < 0,75$) pour une grande majorité des cours d'eau.

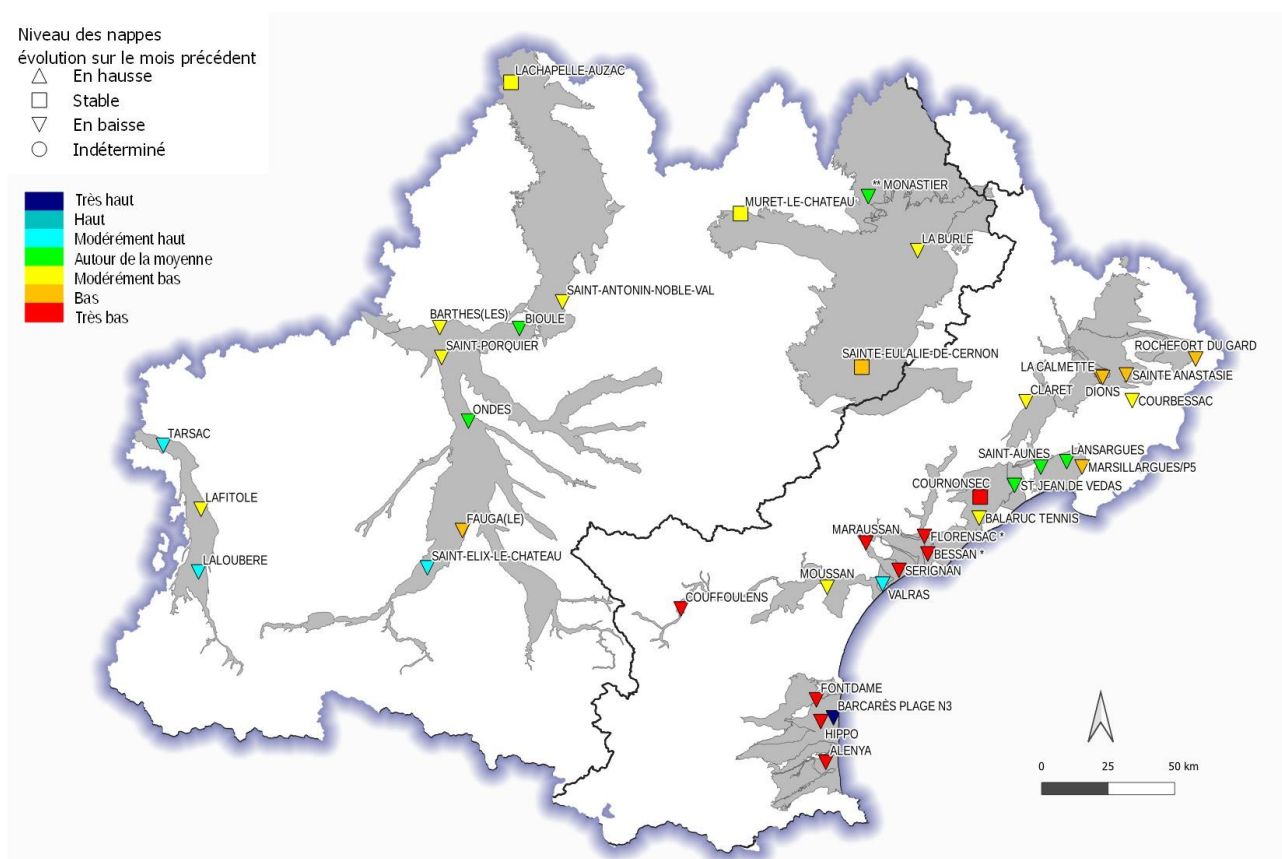
✓ État des réserves :



Au 1^{er} septembre, sur la partie Ouest de la région, l'évolution à la baisse du taux de remplissage des réserves se poursuit, le soutien d'étiage s'étant renforcé durant le mois d'août. Le taux de remplissage global des retenues non conventionnées (retenues non dédiées à l'hydroélectricité) est de 50 % sur le bassin Adour Garonne contre 36,3 % en 2022 à la même période (détail sur la partie Ouest de la région : Tarn-Aveyron : 58,6 %, Lot : 80,9 %, Neste : 56,7 %, Garonne : 43,7 %, Adour : 48,7%).

Sur le pourtour méditerranéen, la vidange des retenues pour le soutien des usages et milieux se poursuit. Les niveaux sont globalement plus bas qu'à la même période en 2022.

✓ Niveaux des eaux souterraines :



* La liste des nappes rattachées aux piézomètres est en fin de note

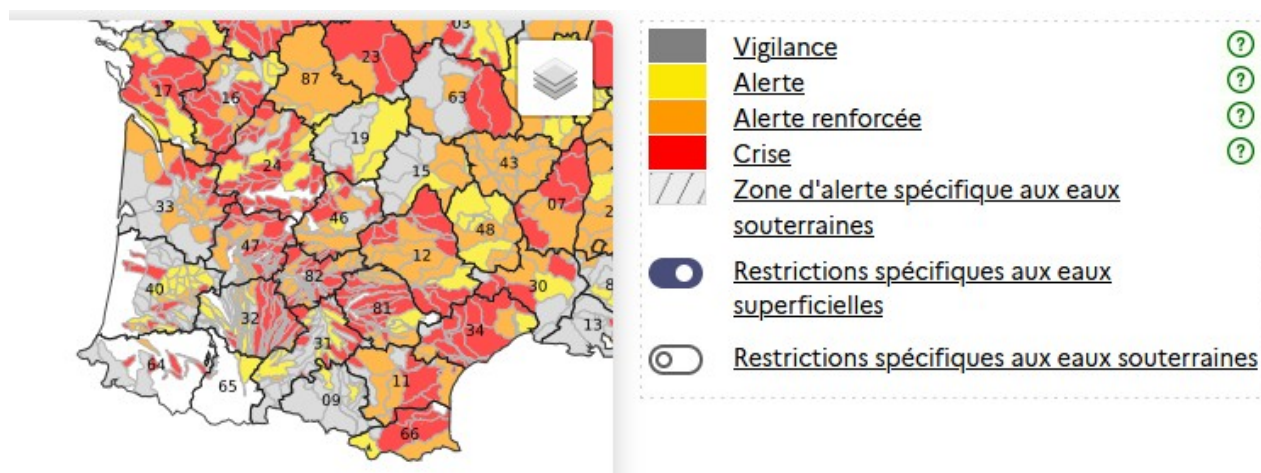
Sur le bassin Adour Garonne, les niveaux se situent entre modérément bas à l'Est et autour de la moyenne au Sud. La nappe alluviale de l'Adour est le secteur qui présente le niveau moyen le plus haut, avec une situation plus favorable que celles de ces trois dernières années, années 2020 et 2021 incluses. Celle de la Garonne et de ses principaux affluents, voit ses indicateurs s'améliorer légèrement, passant du niveau modérément bas de ces derniers mois, à proche de la moyenne. Si la situation s'est améliorée le mois dernier aux Barthes, le niveau reste bas au Fauga depuis de nombreux mois. La situation est inchangée pour les aquifères calcaires karstifiés libres du Jurassique moyen et supérieur qui restent à un niveau modérément bas s'approchant de la quinquennale sèche.

Sur l'arc méditerranéen, les niveaux piézométriques poursuivent leur baisse. La situation est extrêmement dégradée pour la saison, avec des niveaux sous les normales pour la grande majorité des points de suivi et des niveaux très bas (inférieurs à un niveau décennal sec) pour près de 40 % des points. La situation s'améliore néanmoins localement, notamment sur la partie littorale des sables de l'Astien (Hérault) et sur la bordure côtière nord des nappes pliocènes (Pyrénées-Orientales).

3/ Mesures de restrictions

Source : Propluvia

Lien propluvia



Au 30 août, côté Adour Garonne les mesures de restriction se sont renforcées au 1^{er} septembre, notamment sur la moitié nord, avec une augmentation du passage en niveau de crise.

Sur l'arc méditerranéen, la dégradation de la situation a impliqué un durcissement des restrictions sur l'ensemble des départements avec, en particulier, le passage en crise de nouveaux bassins versants des départements de l'Aude, de l'Hérault et du Gard.

LISTES DES STATIONS DES COURS D'EAU

Débit Objectif d'Étiage

Côté Adour-Garonne

STATION	COURS D'EAU
MAUGIO	pluvial méditerranéen littoral
BLANDAS	pluvial-cévenol
OLARGUES SNCF	pluvial-cévenol
SAINT-MARTIN-LYS	pluvial océanique de moyenne altitude
RAISSAC-SUR-LAMPY	pluvial océanique de moyenne altitude
LAPRADELLE	pluvial océanique de moyenne altitude
PORTA "IIB"	nival pyrénéen "coursd_eau"
LA GOULETTE	Altier
BESSÈGES	Cèze
LA ROQUE / CEZE	Cèze
PONT RAVAGER	Gardon de St-Croix
CORBES	Gardon de St-Jean
ALES	Gardon d'Alès
LE CAILAR	Vistre
SOMMIERES	Vidourle
LAVALETTE	Lez
LA TERRISSE	Arre
LAROQUE	Hérault
GIGNAC AVAI	Hérault
LODEVE	Lergue
ASPIRAN	Hérault
HEREPIAN	Orb
LE PRADAL	Mare
VIEUSSAN	Orb
PONT DOUMERGUE	Orb
BELVIANES	Aude
GREFFEIL	Lauquet
PONT-ROUGE	Fresquel
VILLEDUBERT	Orbiel
ST MARTIN DES PUIITS	Orbieu
LA REDORTE	Argent Double
RIPAUD	Berre
MAS DE JAU	Agly
JONCET	Têt
PERPIGNAN	Têt
LA PRESTE	Tech
PONT D'ELNE	Tech

Côté Rhône-Méditerranée

STATION	COURS D'EAU
Calmont	L'Hers Vif
Auterive	L'Ariege
Portet	La Garonne
St Martin du Touch	Le Touch
Pont de Périole	L'Hers Mort
Larra	La Save
Verdun	La Garonne
Castelferrus	La Gimone
Pécotte	Le Tarn
St Lieux les Lavour	L'Agout
Villemur sur Tarn	Le Tarn
St Nauphary	Le Tescou
Laguépie	L'Aveyron
Laguépie2	Le Viaur
Réalville	La Lere
Loubéjac	L'Aveyron
Lunel	Le Lemboulas
St Antoine	L'Arrats
Lamagistère	La Garonne
St Pierre de Clairac	La Seoune
Montestruc	Le Gers
Nérac	La Baise
Andiran	L'Osse
Monastier	La Colagne
Entraygues	Le Lot
Amis du Célé	Le Cele
Cahors	Le Lot
Casseneuil	La Lede
Tonneins	La Garonne
Loubens	Le Dropt

LISTES DES STATIONS DES MASSES D'EAU SOUTERRAINES

Piézométrie des nappes

Côté Adour-Garonne

STATION	MASSE D'EAU
Tarsac	Aquifères alluviaux de l'Adour et du Gave de Pau
Lafitole	Aquifères alluviaux de l'Adour et du Gave de Pau
Laloubere (Peyta)	Aquifères alluviaux de l'Adour et du Gave de Pau
St-Porquier	Aquifères alluviaux de la Garonne amont et de ses principaux affluents
Bioule	Aquifères alluviaux de la Garonne amont et de ses principaux affluents
Les Barthes	Aquifères alluviaux de la Garonne amont et de ses principaux affluents
Ondes	Aquifères alluviaux de la Garonne amont et de ses principaux affluents
Le Fauga	Aquifères alluviaux de la Garonne amont et de ses principaux affluents
St-Elix	Aquifères alluviaux de la Garonne amont et de ses principaux affluents
Montaut	Aquifères alluviaux de la Garonne amont et de ses principaux affluents
Le Blagour (Souillac)	Aquifères calcaires karstifiés du Jurassique moyen et supérieur
Les Bardels (Muret)	Aquifères calcaires karstifiés du Jurassique moyen et supérieur
Le Girou	Aquifères calcaires karstifiés du Jurassique moyen et supérieur
La Gourgue	Aquifères calcaires karstifiés du Jurassique moyen et supérieur
Le Cernon	Aquifères calcaires karstifiés du Jurassique moyen et supérieur

Côté Rhône-Méditerranée

STATION	MASSE D'EAU
piézomètre de Rochefort	Calcaires urgoniens des garrigues du Gard et du Bas-Vivarais dans le BV de la Cèze
piézomètre de Vignot	Alluvions du moyen Gardon + Gardons d'Alès et d'Anduze
piézomètre Dions	Calcaires urgoniens des garrigues du Gard BV du Gardon
piézomètre Pt St Nicolas	Calcaires urgoniens des garrigues du Gard BV du Gardon
Piezomètre Midi Libre	Calcaires jurassiques pli W de Montpellier, unité Mosson + sud Montpellier affleurant + ss couverture
piézomètre de Vène	Calcaires jurassiques pli W Montpellier et formations tertiaires, unité Thau Monbazin-Gigean Gardiole
Piezomètre P5CEHM	Alluvions anciennes entre Vidourle et Lez et littoral entre Montpellier et Sète
Lansargues - 2284	Alluvions anciennes entre Vidourle et Lez et littoral entre Montpellier et Sète
piézomètre de Saint Aunes	Alluvions anciennes entre Vidourle et Lez et littoral entre Montpellier et Sète
piézomètre de Claret	Calcaires et marnes jurassiques des garrigues nord-montpellieraines (W faille de Corconne)
CGE TENNIS - 3217	Calcaires jurassiques pli W Montpellier et formations tertiaires, unité Thau Monbazin-Gigean Gardiole
2031 bis	Alluvions de l'Hérault
Piezomètre Maraussan	Alluvions de l'Orb et du Libron
Piezomètre F17	Alluvions de l'Orb et du Libron
piézomètre 1777	Alluvions de l'Hérault
piézomètre de Védillan	Alluvions Aude basse vallée
piézomètre de Couffoulens	Alluvions de l'Aude amont
Piezomètre P102	Calcaires jurassico-crétacés des Corbières (karst des Corbières d'Opoul et structure du Bas Agly)
Source du Gail	Socle BV Lot secteurs hydro o7-o8
Source La Burle	Calcaires des grands Causses BV Tarn
Piezomètre Courbessac	Alluvions quaternaires ey Villafranchiennes de la Vistrenque
Valras	Astien d'Agde Valras
Piezomètre Hippo	Alluvions quaternaires du Roussillon
Alenya	Alluvions quaternaires du Roussillon
Piezomètre Figuières	Aquifère pliocène du Roussillon
Piezomètre Barcarès plage N3	Aquifère pliocène supérieur du Roussillon